

図 2 各遺伝子の平均強度と標準偏差の散布図

左図の横軸は平均強度、右図の横軸はその順位、大きな点は系列の移動平均

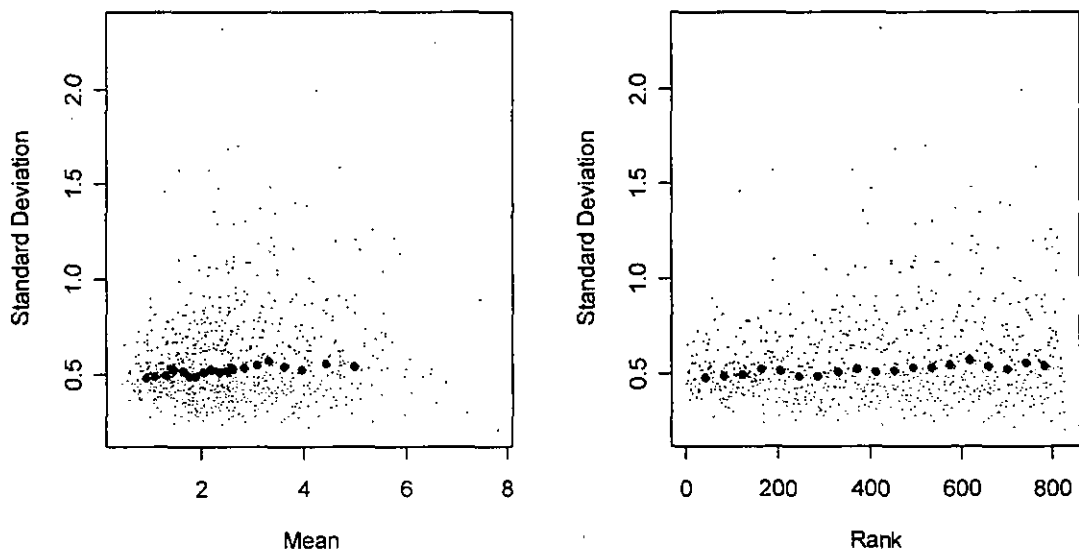


図 3 分散安定化変換後の各遺伝子の平均強度と標準偏差の散布図

左図の横軸は平均強度、右図の横軸はその順位、大きな点は系列の移動平均

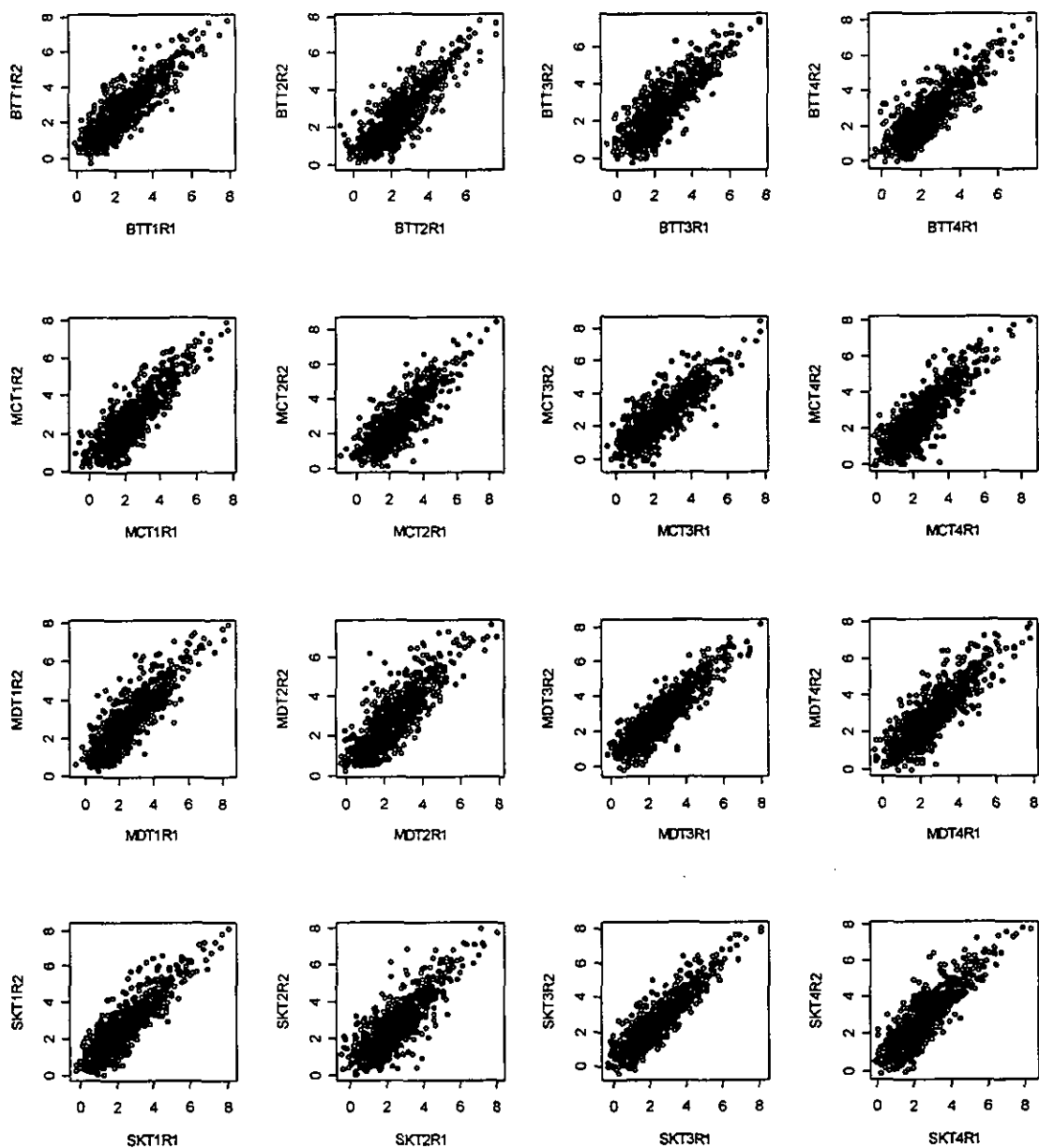


図 4 分散安定化変換後の遺伝子発現強度の散布図

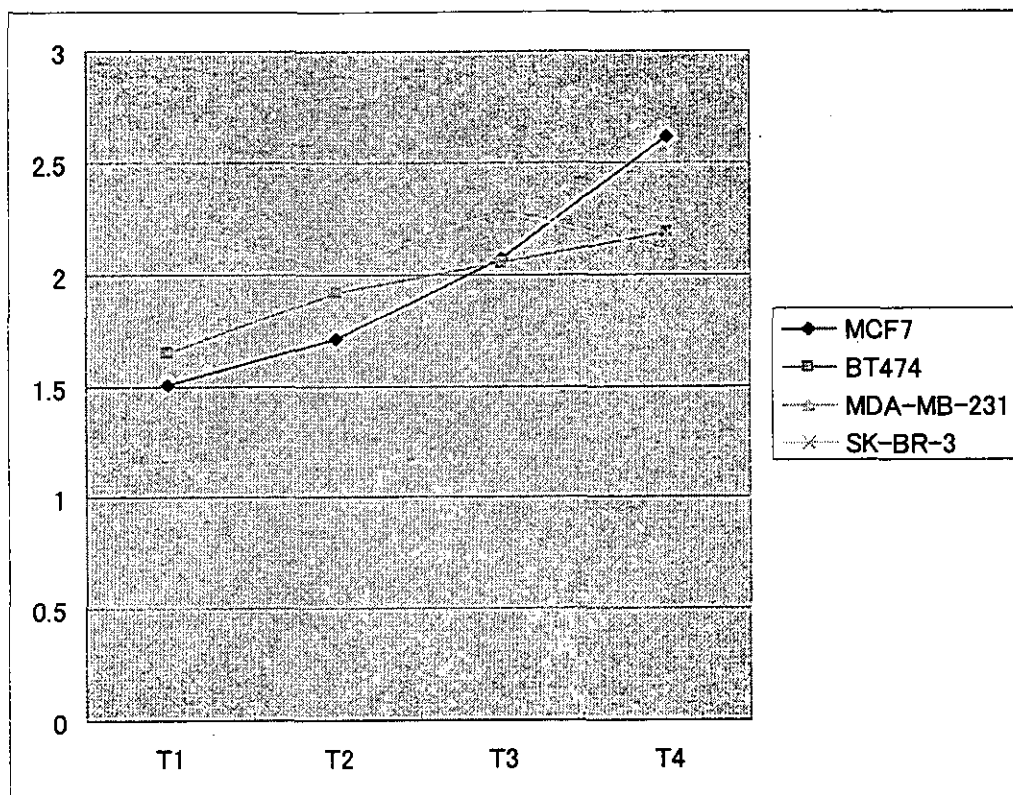


図 5 p21-activated kinase alpha の発現プロファイル
データ点は 2 回の実験繰り返しにおける平均値

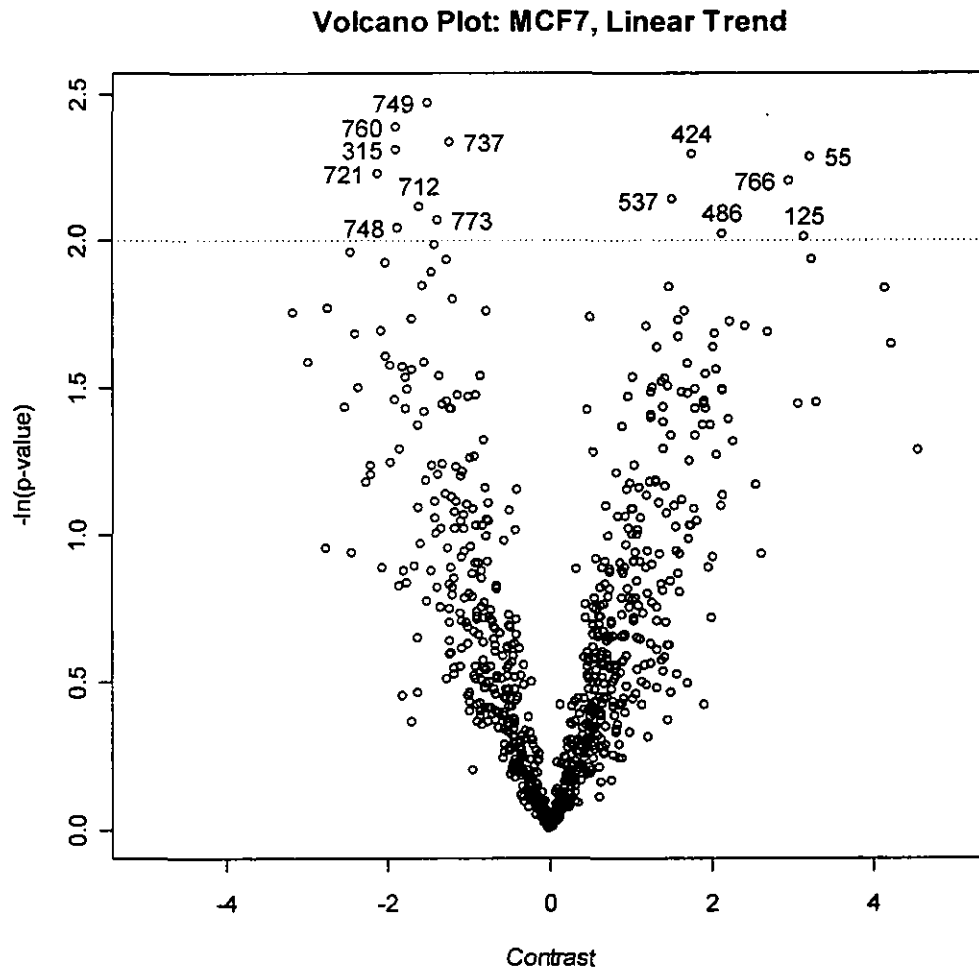


図 6 MCF7 細胞株におけるボルケーノプロット

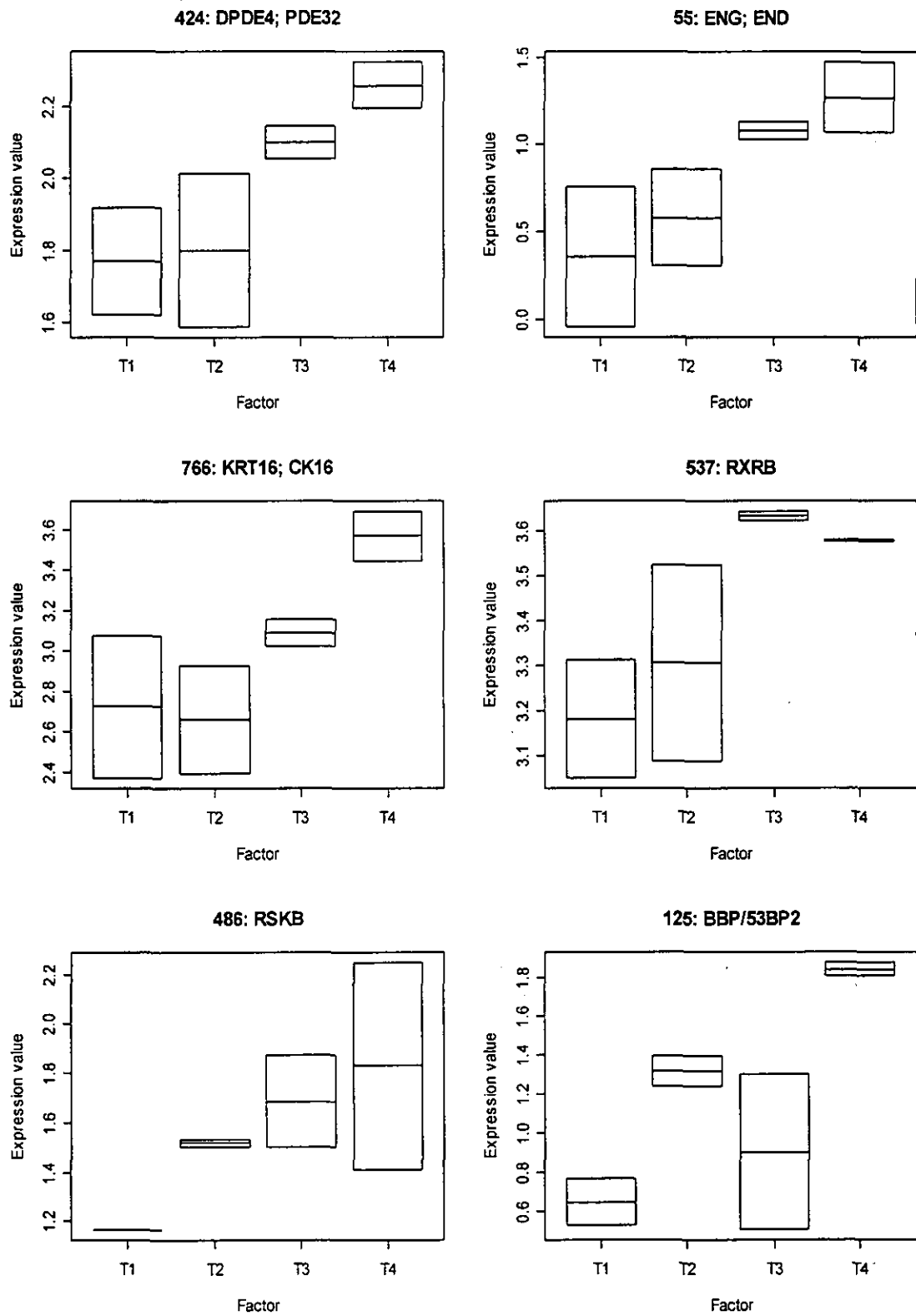
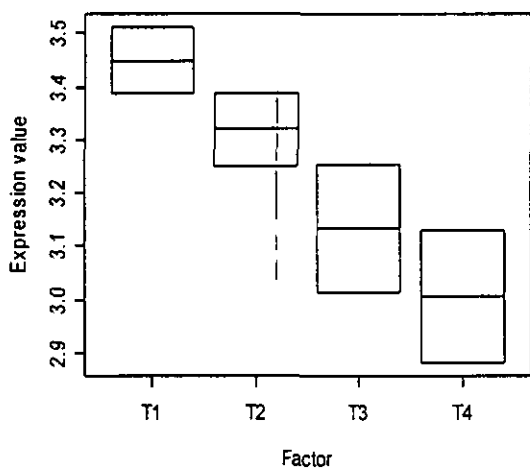
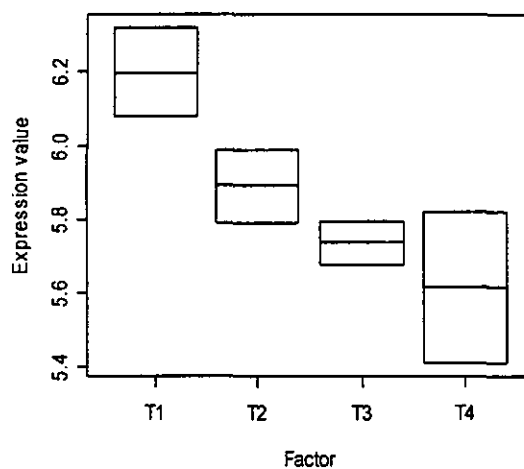


図 7 MCF7 細胞株における増加傾向遺伝子のプロット
 (箱の上下はデータ点、中線は平均値)

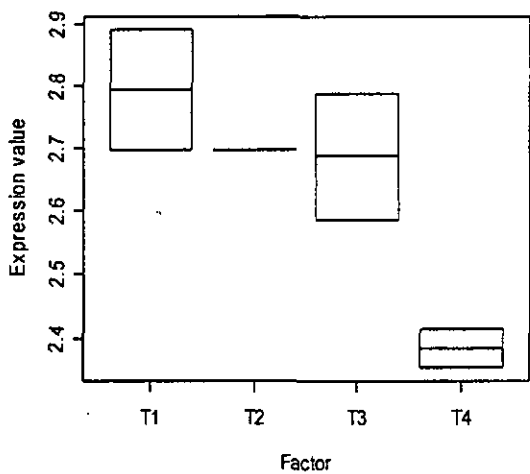
749: MRP3; MLP2; ABCC3



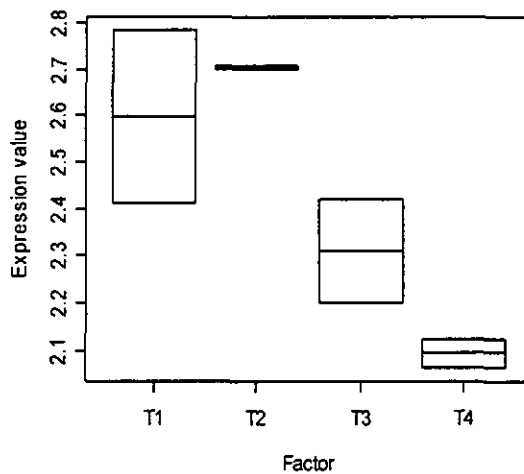
760: TC4



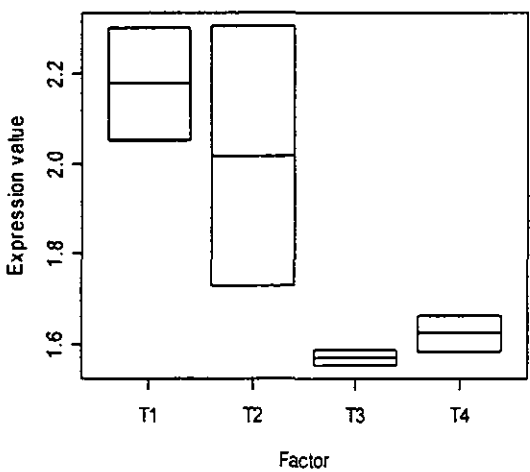
737: thioredoxin reductase



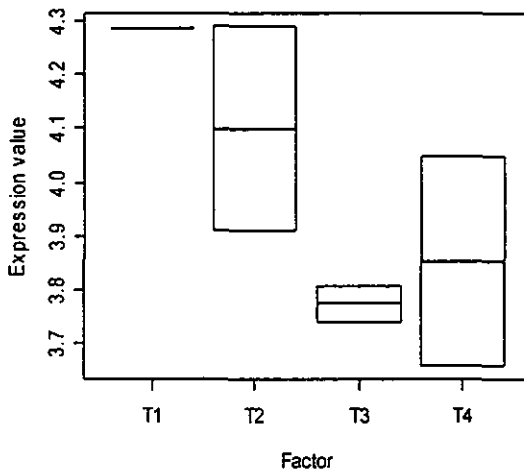
315: farnesyltransferase beta



721: GSHPX1; GPX1



712: adducin gamma subunit



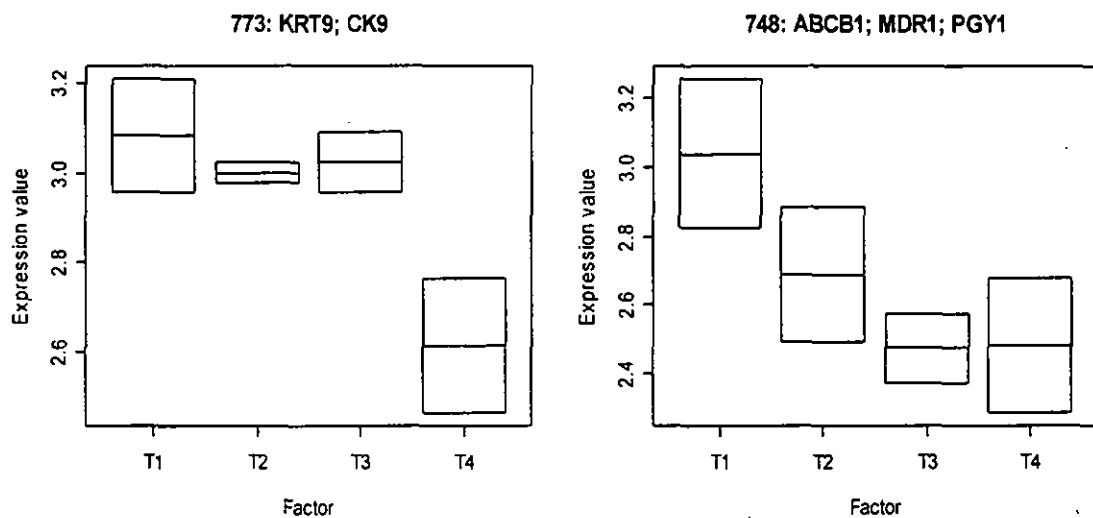


図 8 MCF7 細胞株における減少傾向遺伝子のプロット
(箱の上下はデータ点、中線は平均値)

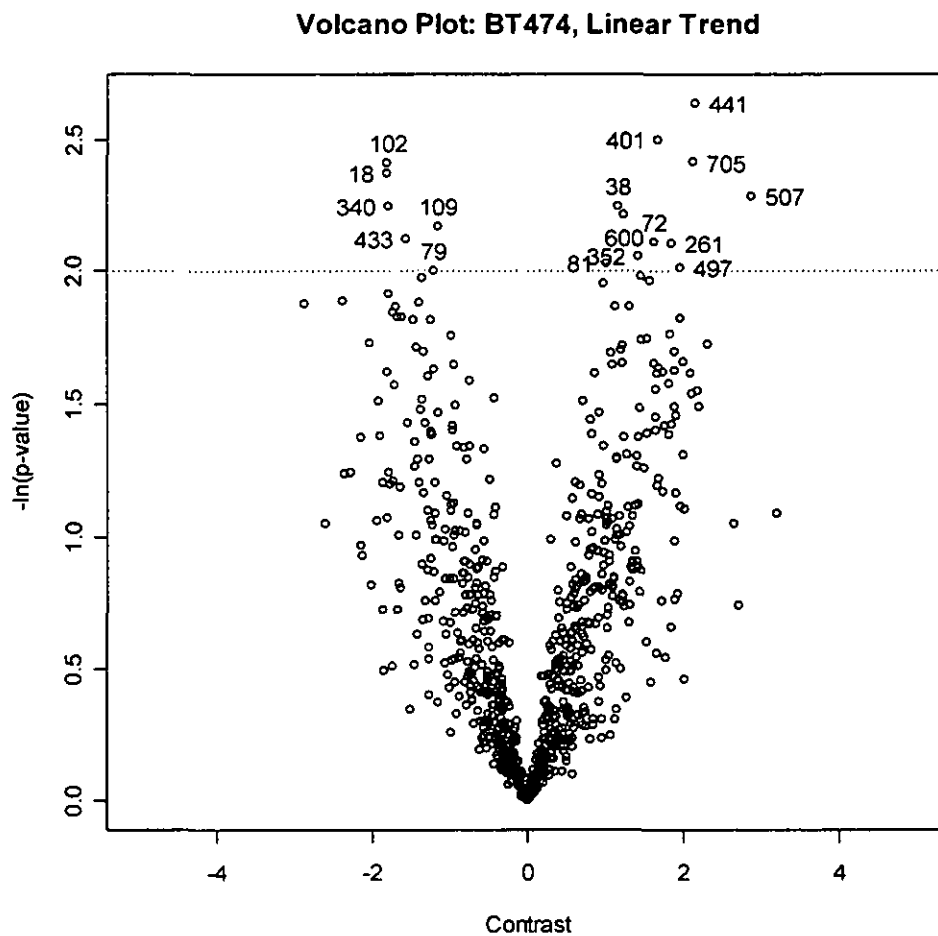
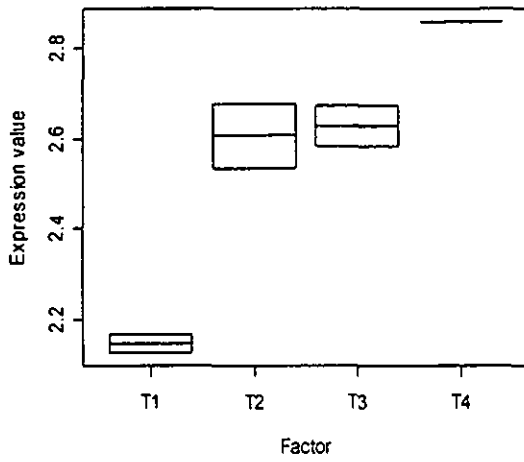
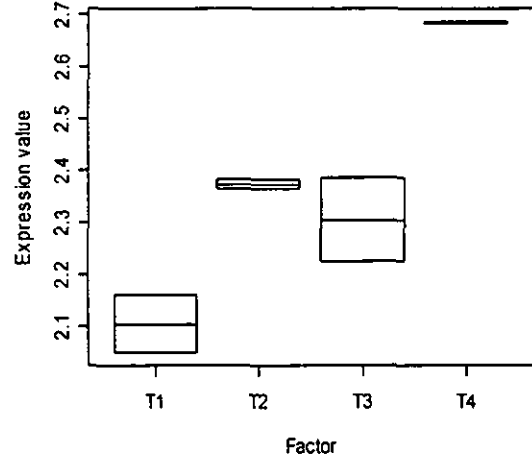


図 9 BT474 細胞株におけるボルケーノプロット

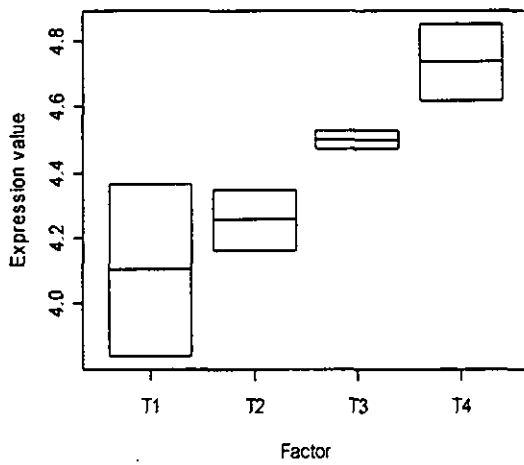
441: FRA1; FOSL1



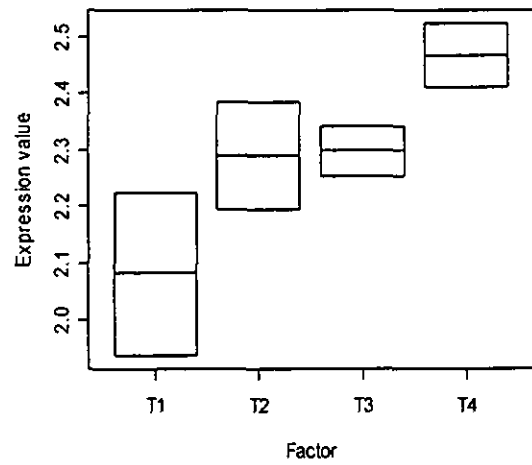
401: NEK3; NIMA-related protein kinase 3; HSPK 36



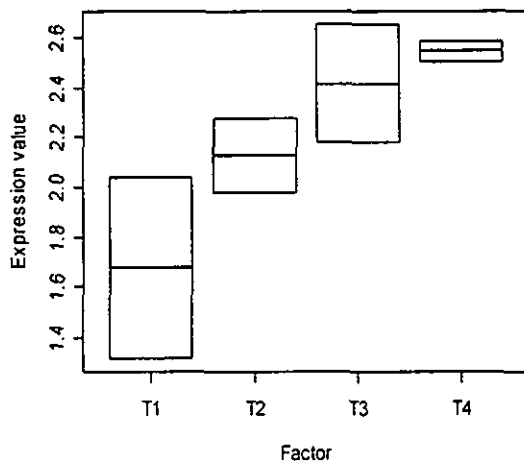
705: RAD23A; hHR23A



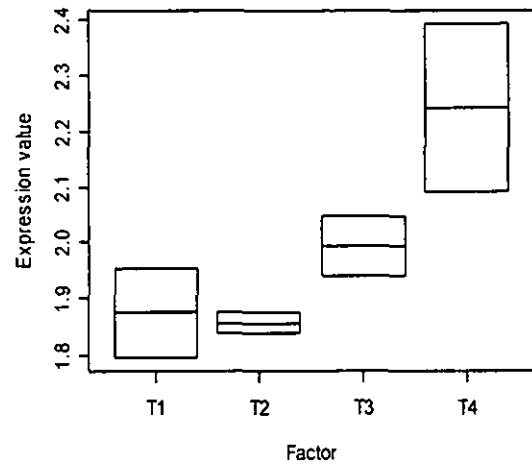
38: ECM2



507: RAP-1A; C21KG; SMG-p21A; G-22K



600: SH3P12



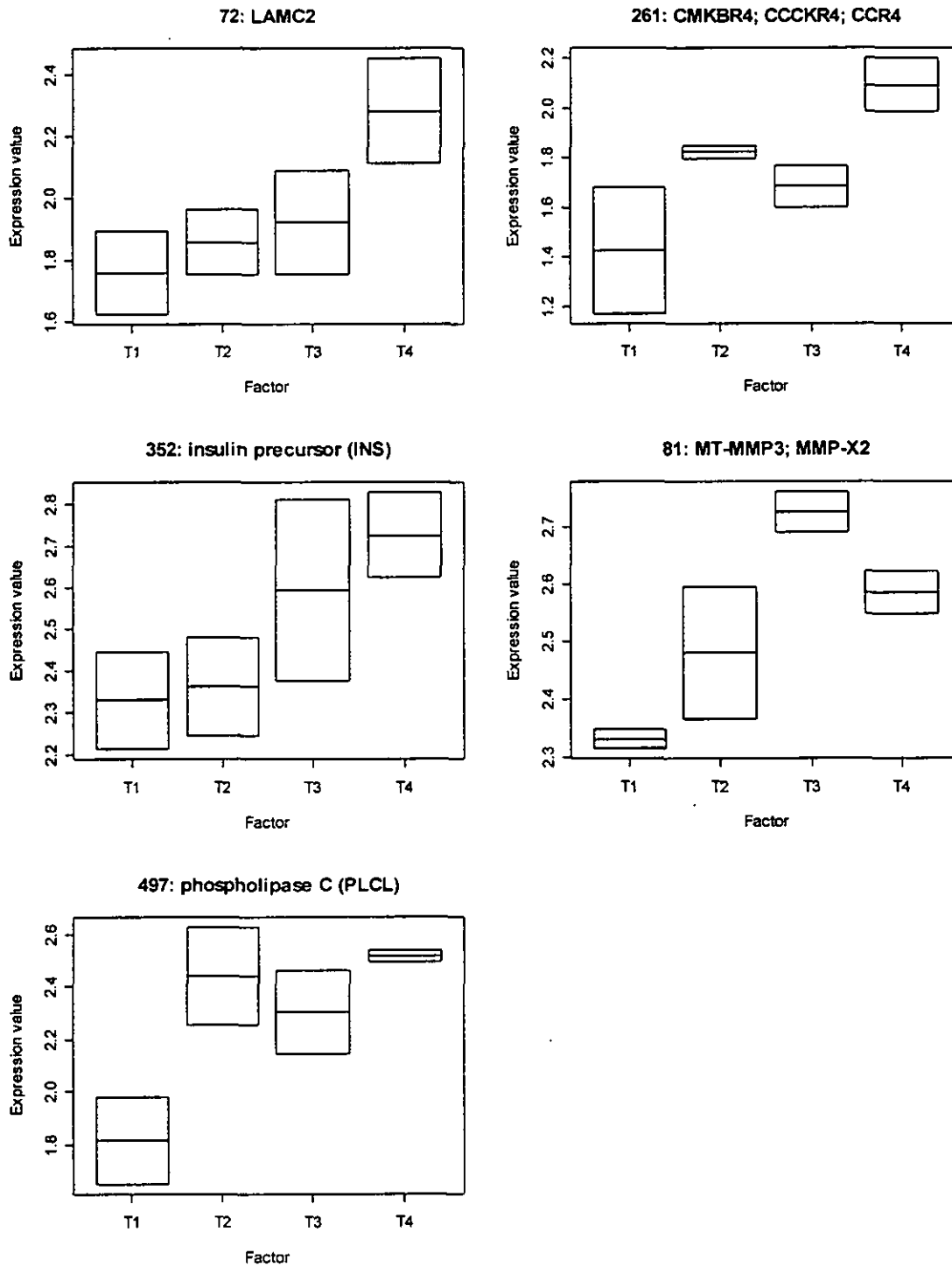


図 10 BT474 細胞株における増加傾向遺伝子のプロット
 (箱の上下はデータ点、中線は平均値)

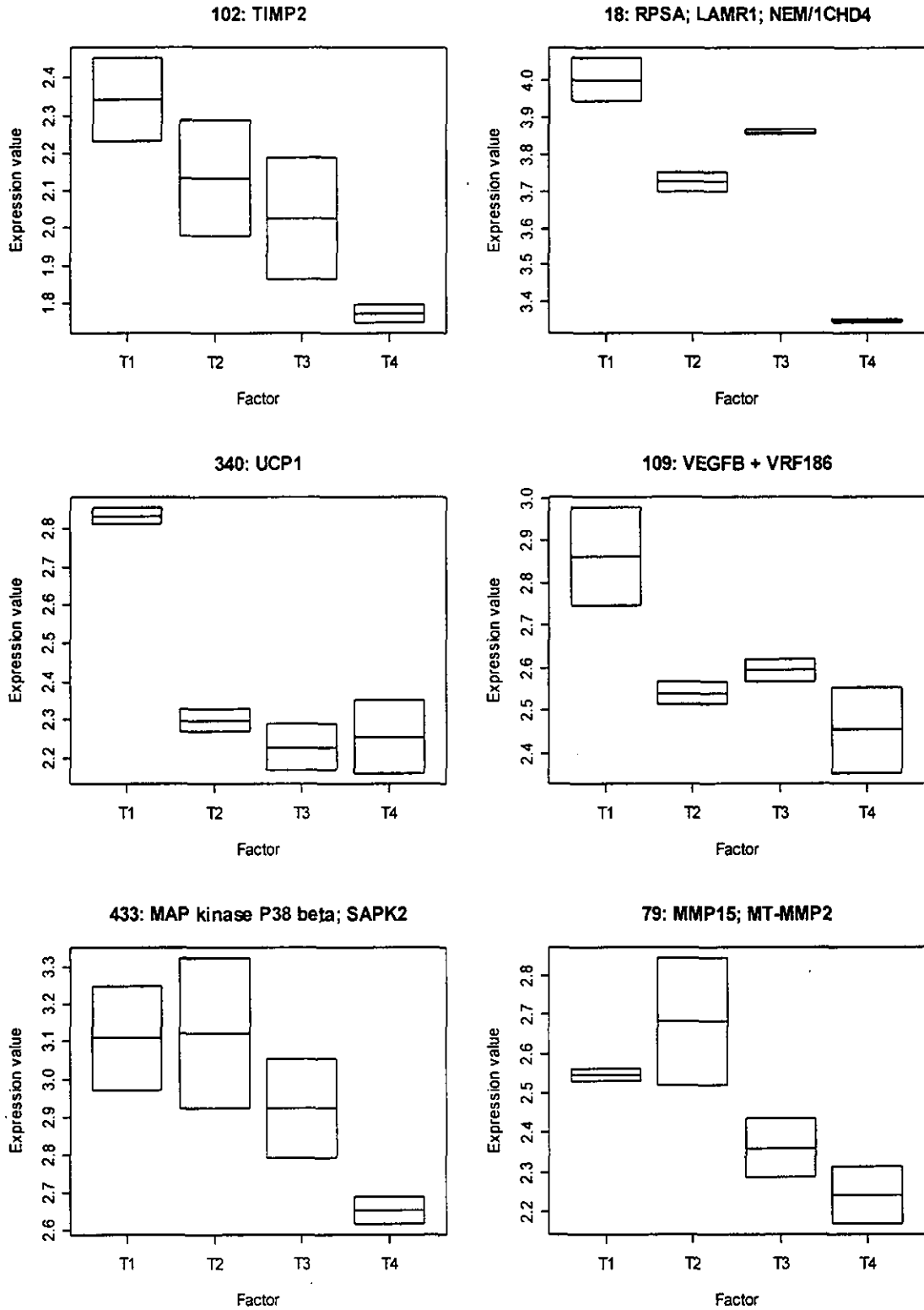


図 11 BT474 細胞株における減少傾向遺伝子のプロット
 (箱の上下はデータ点、中線は平均値)

Volcano Plot: SK-BR-3, Linear Trend

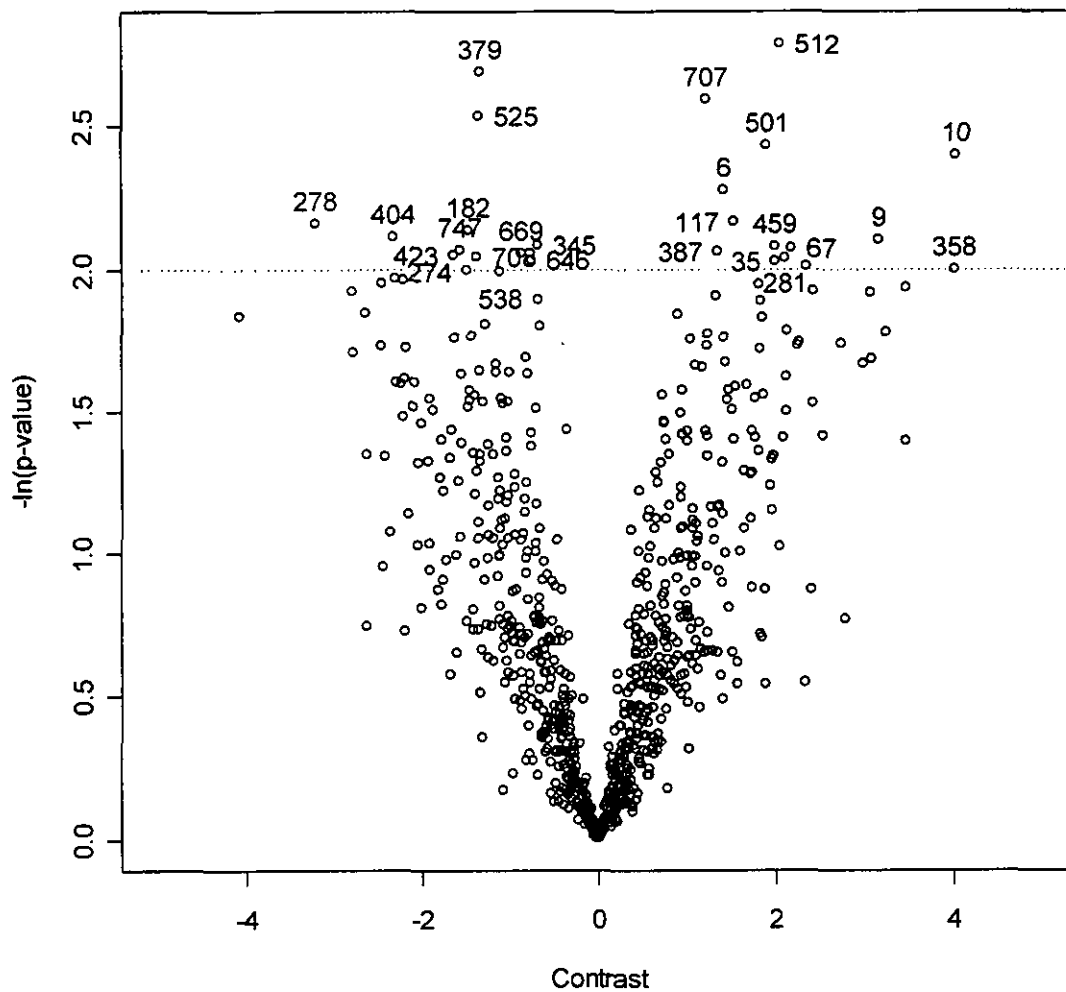
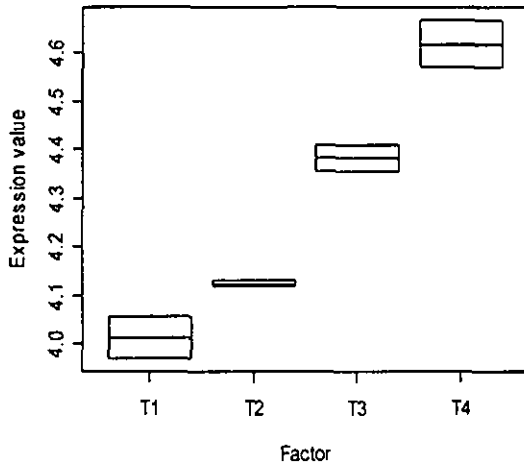
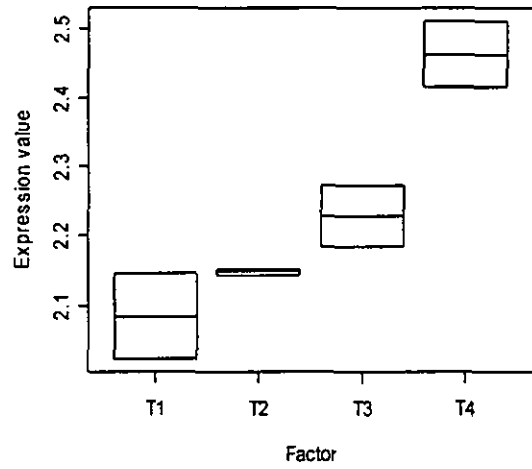


図 12 SK-BR-3 細胞株におけるボルケーノプロット

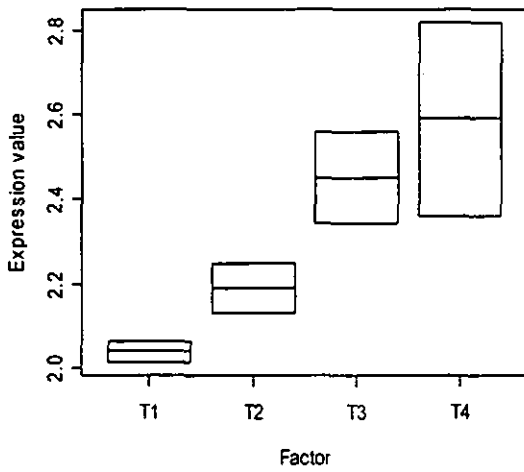
512: RAB1A; YPT1-related protein



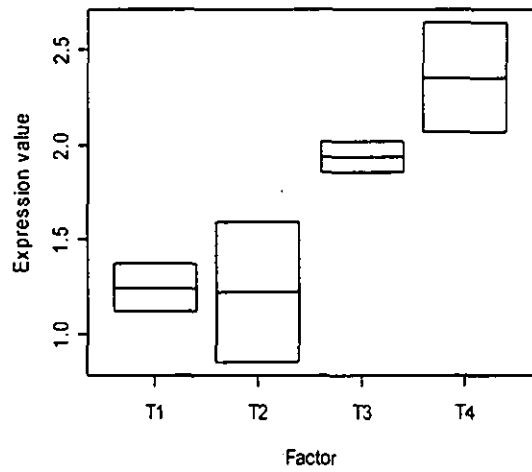
707: GNRP; ras-GRF; sos



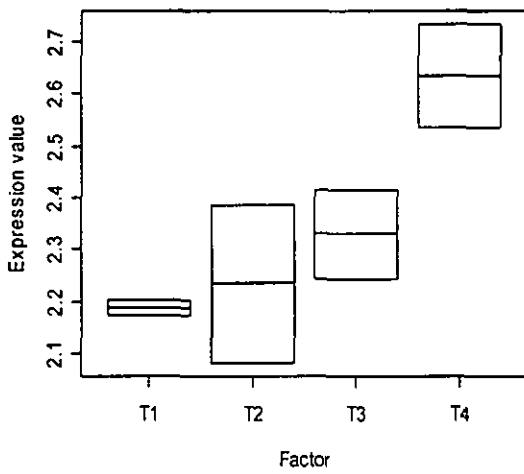
501: PLC-delta 1; PLCD1; PLC-II



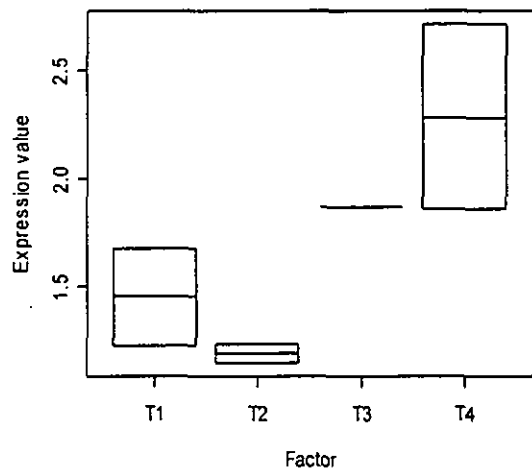
10: cadherin 8 (CDH8)



6: cadherin 11 precursor (CDH11); OSF4



9: cadherin 4 (CDH4); RCAD



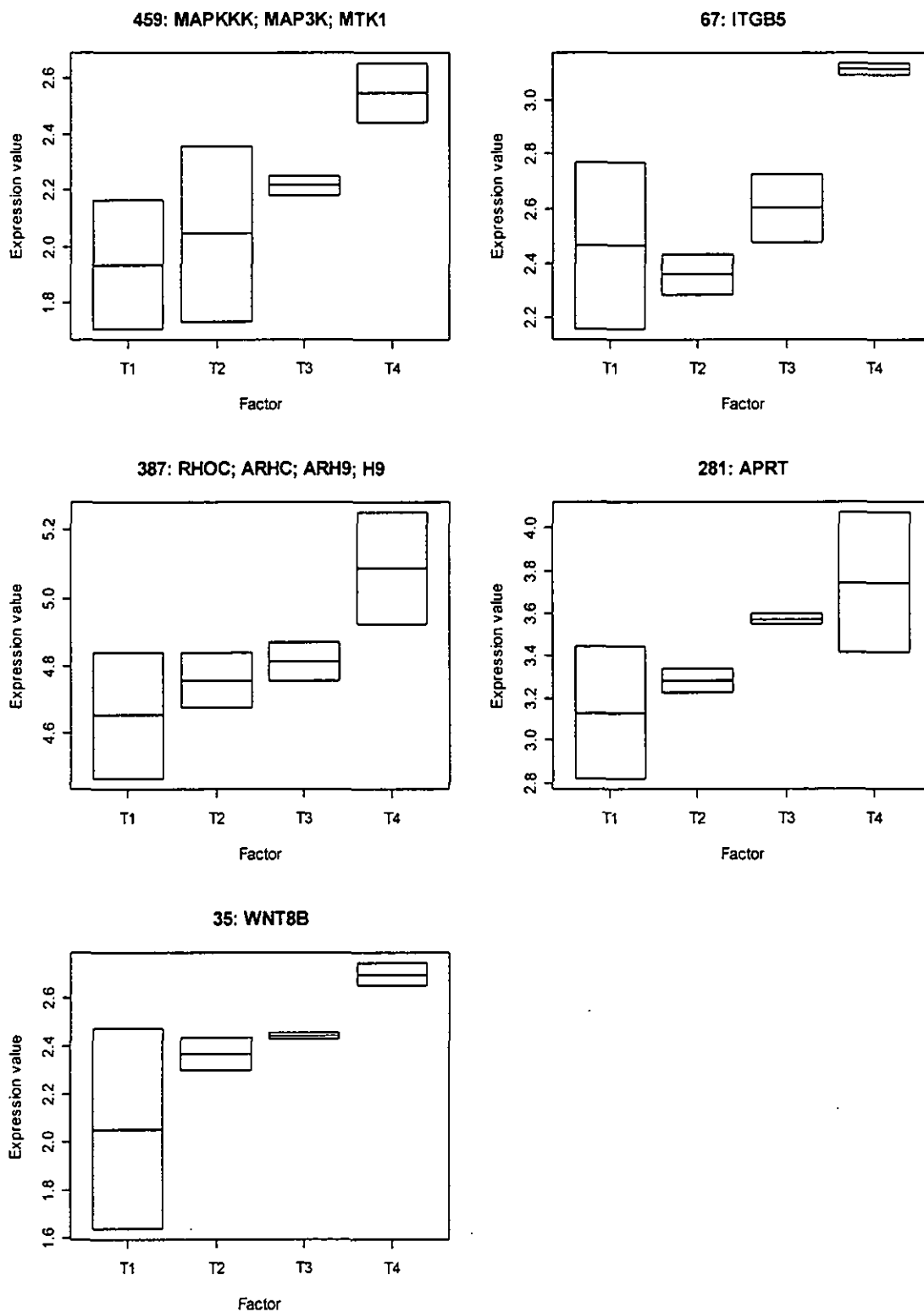
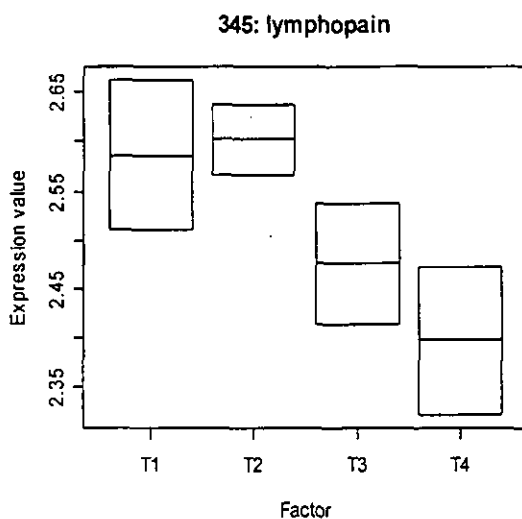
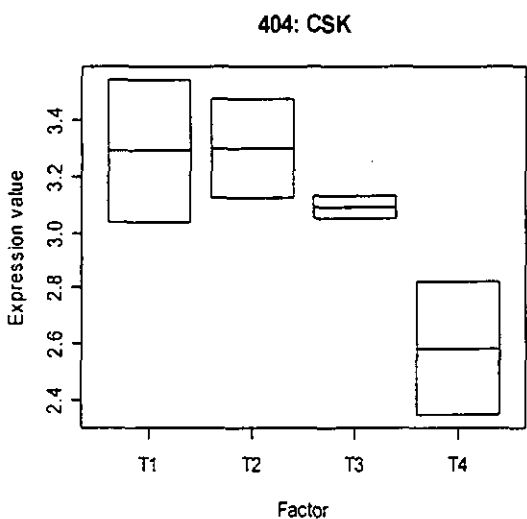
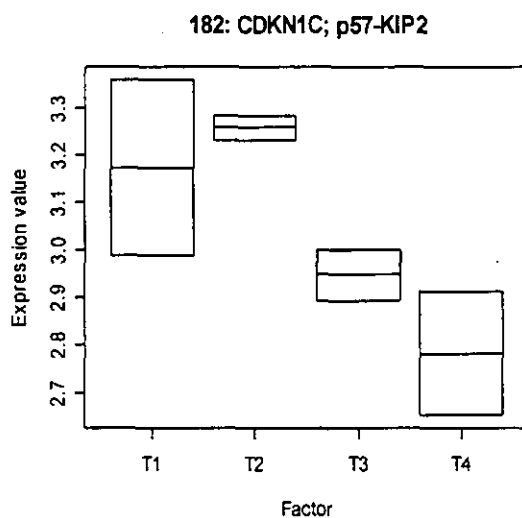
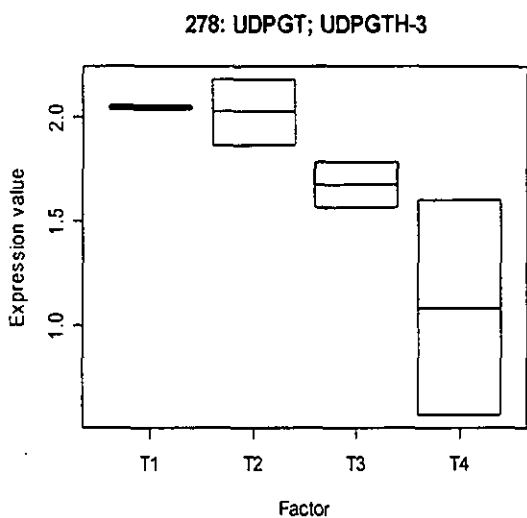
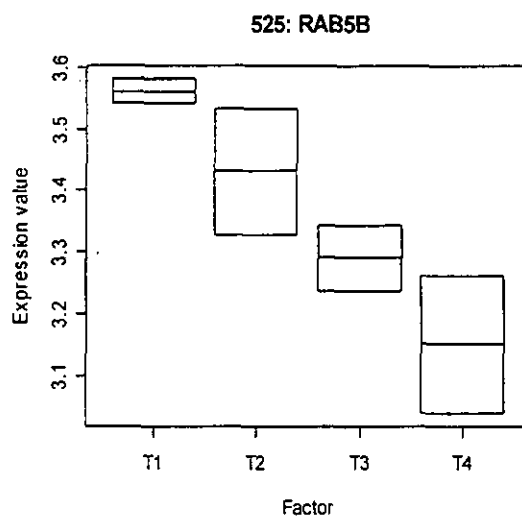
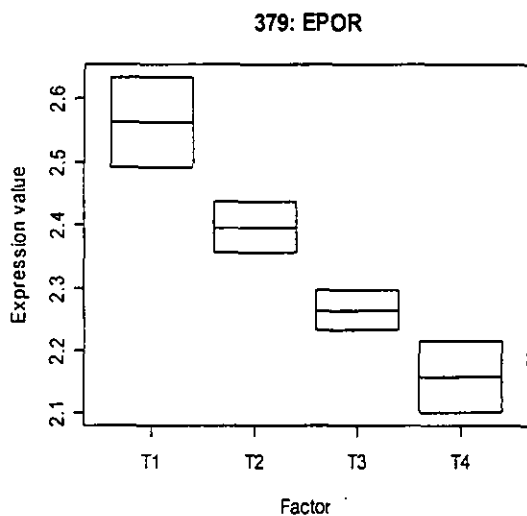


図 13 SK-BR-3 細胞株における増加傾向遺伝子のプロット
 (箱の上下はデータ点、中線は平均値)



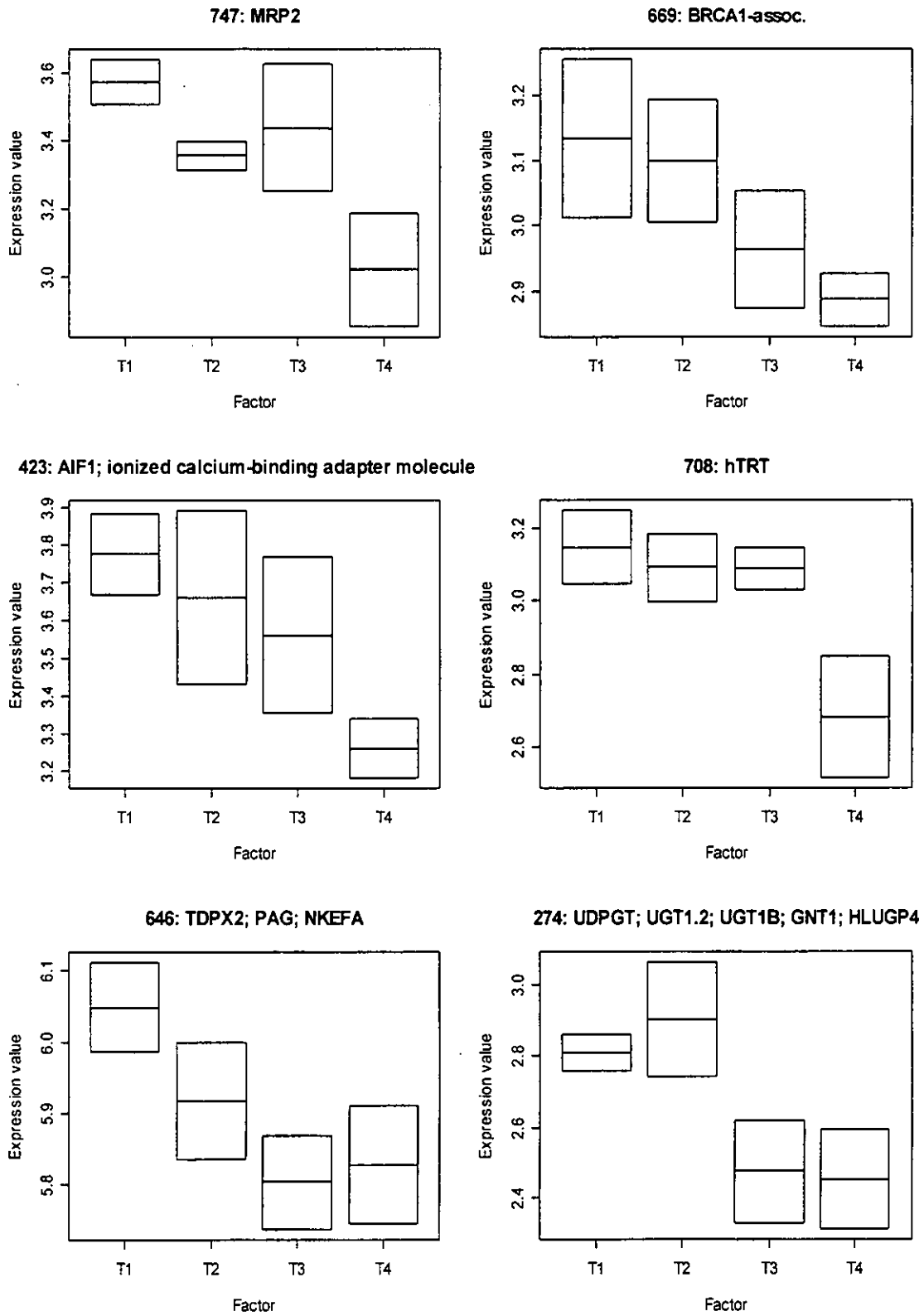


図 14 SK-BR-3 細胞株における減少傾向遺伝子のプロット
(箱の上下はデータ点、中線は平均値)

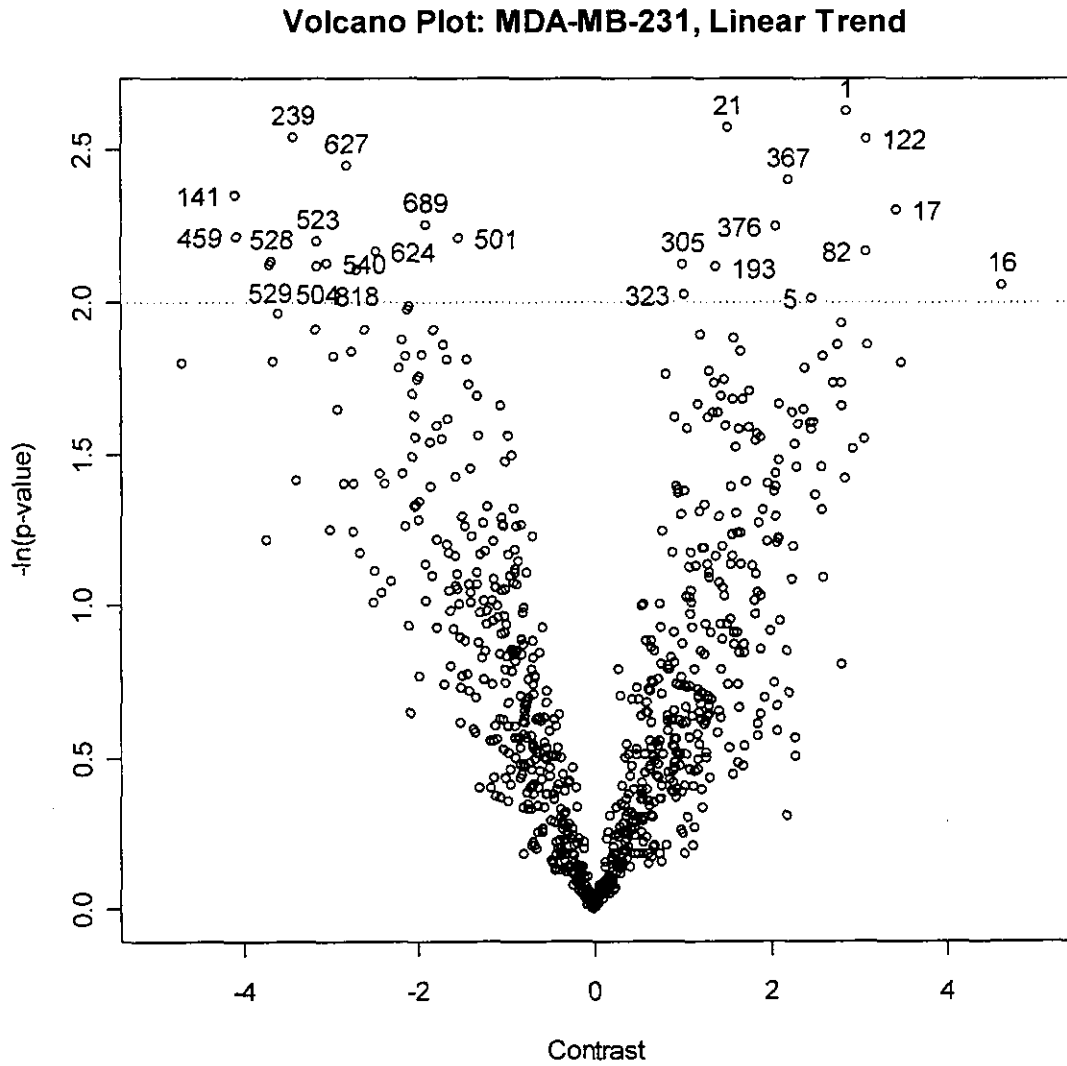
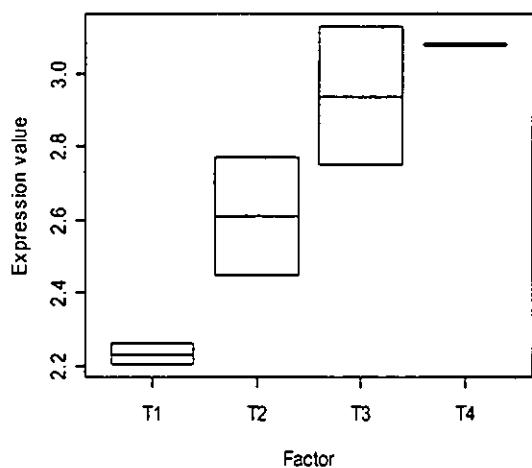
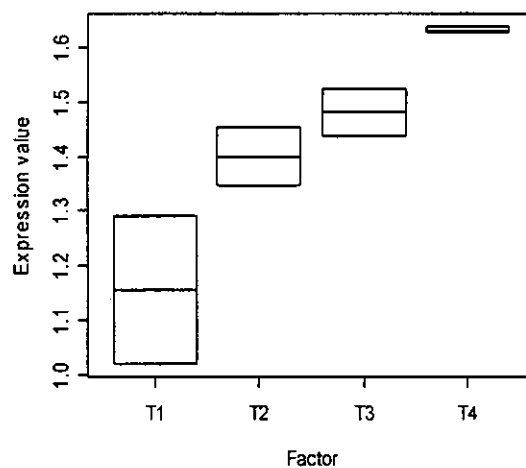


図 15 MDA-MB-231 細胞株におけるボルケーノプロット

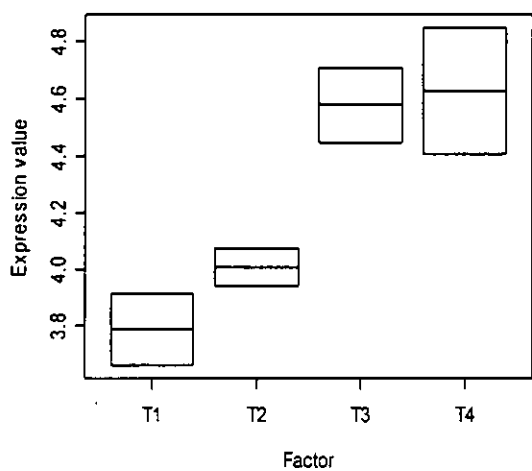
1: VEGFC; VRP; FLT4 ligand



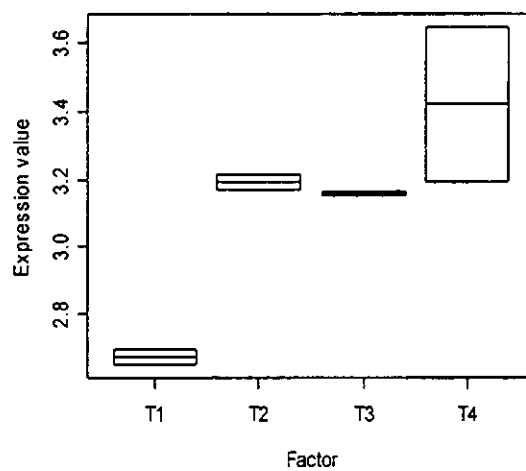
21: COL6A3



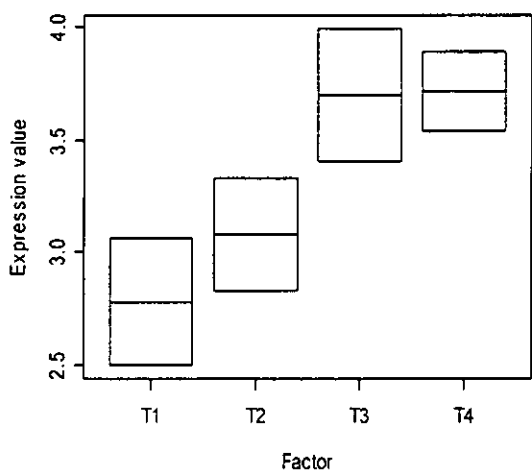
122: FAST



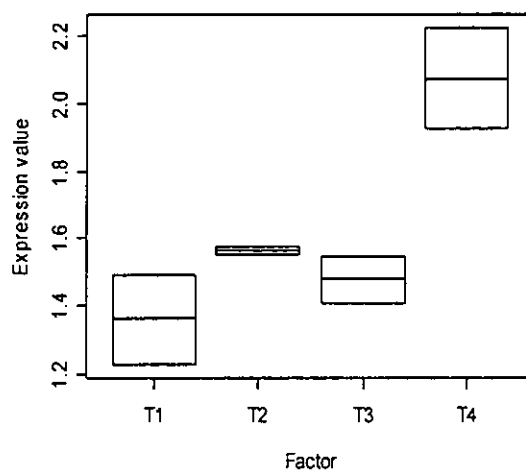
367: CGR19



17: ILK



376: IGF1A; IGFBP1; IGF1



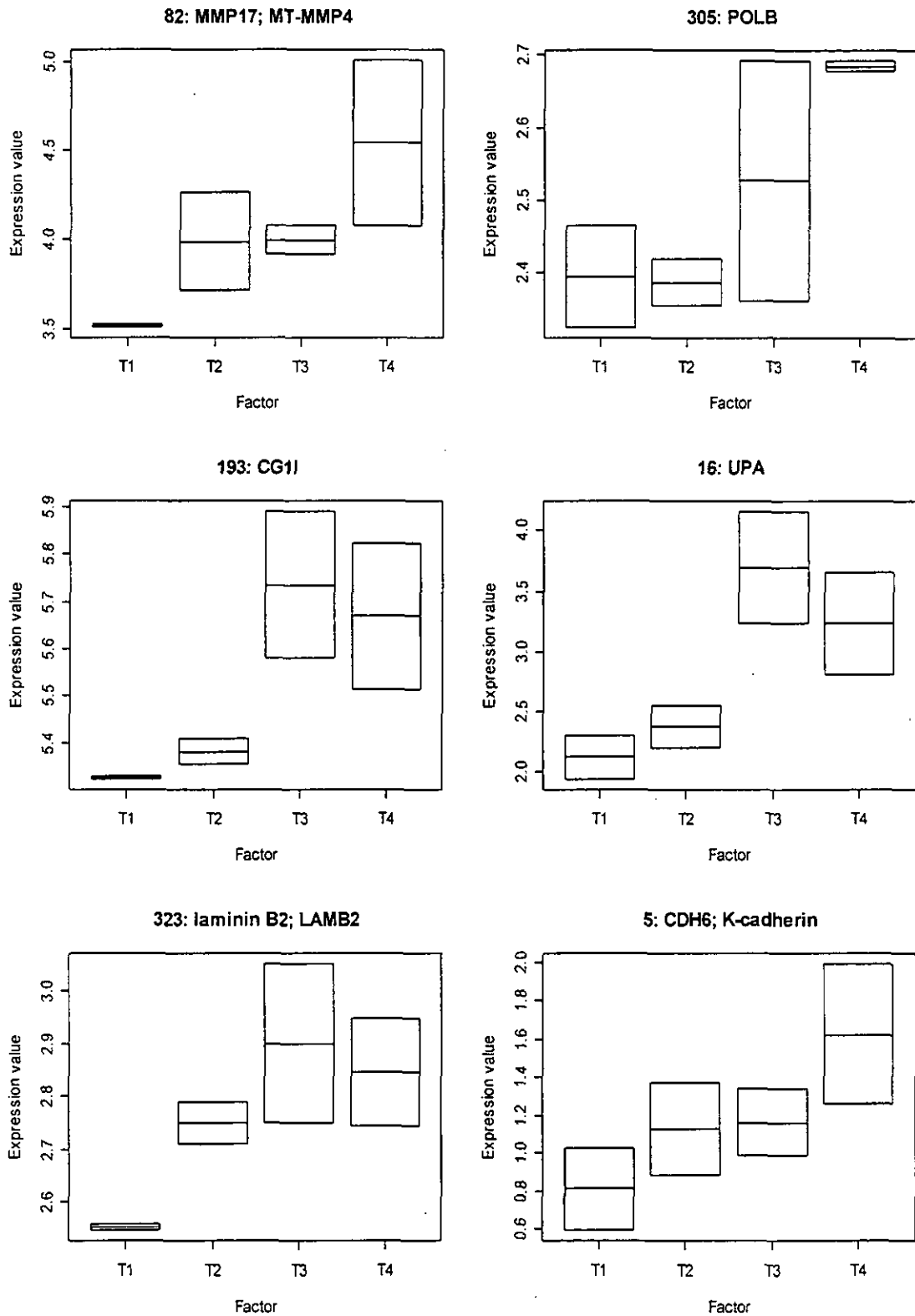
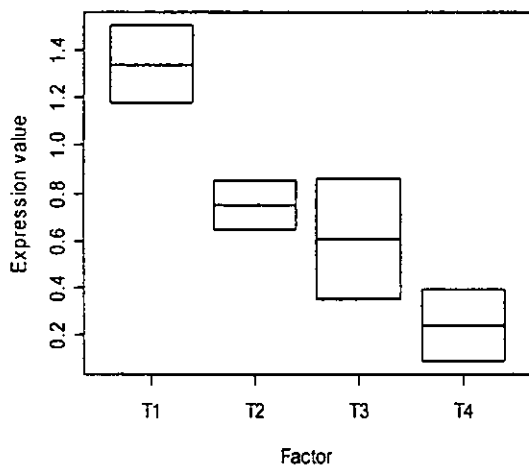
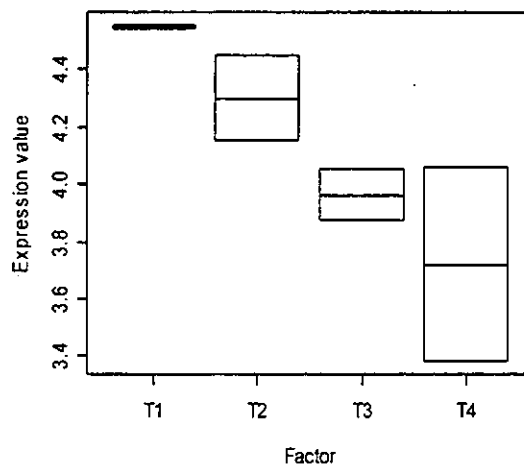


図 16 MDA-MB-231 細胞株における増加傾向遺伝子のプロット
 (箱の上下はデータ点、中線は平均値)

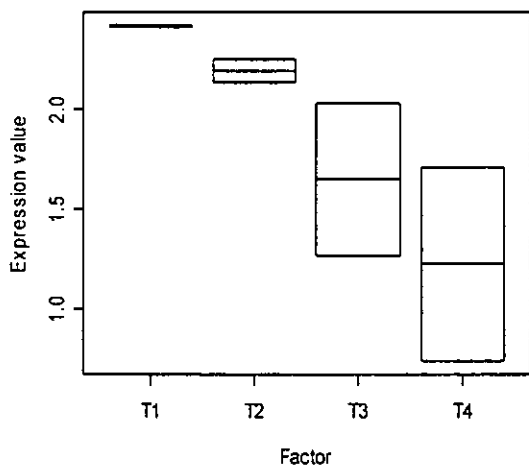
239: IL4; BSF-1



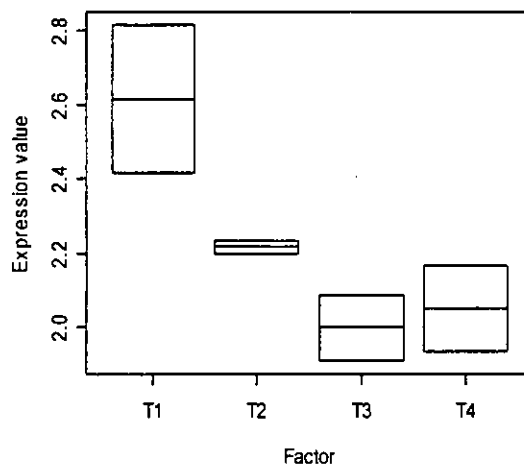
627: DNAJ2; hDJ2; HSJ2



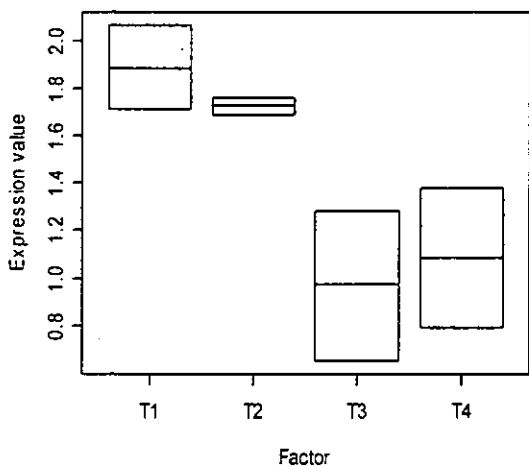
141: TRAIL; APO2L



689: DNA polymerase iota (POLI); RAD30B



523: ras-related protein RAB3B



459: MAPKKK; MAP3K; MTK1

